不同底物驯化氧化亚铁硫杆菌的差异及对煤炭生物脱硫效率的影响

张德伟,周立祥,杨新萍,王世梅*

(南京农业大学资源与环境科学学院环境工程系,南京 210095)

摘要:分别以 FeS_2 和 $FeSO_4$ 为底物培养驯化嗜酸性氧化亚铁硫杆菌(Acidithiobacillus ferrooxidans) LX5,结果发现以 FeS_2 为底物驯化 A. ferrooxidans LX5,在培养 20 d 时,培养液中 LX5 的菌体数量达 3.0×10^7 个/mL,对 FeS_2 中亚铁及还原性硫的氧化能力均较强. A. ferrooxidans LX5 在以 $FeSO_4$ 为底物的培养液中生长,培养 48 h 溶液中 Fe^{2+} 全部氧化成 Fe^{3+} ,菌体数量达到 1.0×10^8 个/mL. 以 FeS_2 为底物驯化培养 A. ferrooxidans LX5 产生的胞外多聚物的量(以 DOC 计)达到2 395 $\mu g/(10^{10} cells)$,是同等条件下经 $FeSO_4$ 培养后产生 EPS 量的 3 倍.分别将经过 FeS_2 和 $FeSO_4$ 驯化培养的 A. ferrooxidans LX5 菌液作接种物,进行高硫煤生物浸出脱硫实验,结果表明,生物浸出脱硫 13 d,接种 FeS_2 驯化的 A. ferrooxidans LX5 处理,脱硫率达 72. 4%,而接种 $FeSO_4$ 培养的 A. ferrooxidans LX5 处理,反应 13 d 煤炭脱硫率仅为 47. 2%,反应 20 d 煤炭脱硫率达 65. 8%. 因此,以 FeS_2 为底物驯化 A. ferrooxidans LX5 可以提高煤炭的生物脱硫效率并缩短脱硫时间.

关键词:嗜酸性氧化亚铁硫杆菌; FeS,; 驯化; 胞外多聚物; 煤炭脱硫

中图分类号:X172 文献标识码:A 文章编号:0250-3301(2011)01-0272-05

Difference in Acclimation of *Acidithiobacillus ferrooxidans* by Various Substrates and Its Effect on Coal Desulfurization Efficiency

ZHANG De-wei, ZHOU Li-xiang, YANG Xin-ping, WANG Shi-mei

(Department of Environmental Engineering, College of Resources and Environmental Sciences, Nanjing Agricultural University, Nanjing 210095, China)

Abstract: In this study, Acidithiobacillus ferrooxidans LX5 was cultured in 9K medium with pyrite and ferrous sulfate as the substrates. Results showed that the number of A. ferrooxidans LX5 acclimated by pyrite for 20 d was 3.0 × 10⁷ cell/mL in the liquid, and the oxidation activity to pyrite was stronger. A. ferrooxidans LX5 cultured for 48 h was 1.0 × 10⁸ cell/mL in medium with FeSO₄. Extracellular polymeric substance (EPS) produced from A. ferrooxidans LX5 acclimated by pyrite was 2 395 µg/(10¹⁰ cells) three times as much as that cultured with FeSO₄. A high-sulfur coal desulfurization experiment were carried out with A. ferrooxidans LX5 domesticated respectively in medium with ferrous sulfate and pyrite. The results showed that the coal desulfurization rate was up to 72.4% after bioleaching for 13 d by A. ferrooxidans LX5 acclimated by pyrite, at the same time, the desulfurization rate was only 47.2% with A. ferrooxidans LX5 cultured with ferrous sulfate and reached 65.8% in 20 d. Therefore, the desulfurization efficiency can be improved of coal and shorten the desulfurization time when A. ferrooxidans LX5 acclimated with pyrite as the substrate.

Key words: Acidithiobacillus ferrooxidans; pyrite; acclimation; extracellular polymeric substance; coal desulfurization

环境保护日益为全球所关注. 我国 SO₂ 年排放量大,酸雨已覆盖国土面积 40% 左右^[1],如何降低和控制 SO₂ 的污染变得尤为紧迫和重要. 煤炭是我国能源的支柱,而煤炭中所含硫分在燃烧时产生硫氧化物,造成大气污染. 我国煤炭的含硫量一般在0.38% ~5.32%,平均为1.72%,而高硫煤又多分布在煤炭资源较少的南方地区^[2]. 我国约 80% 的煤炭直接用于燃烧,释放大量的 SO₂,而酸雨中的 SO₂有 90%来自煤的燃烧,酸雨、酸雾在我国大部分地区日趋严重^[3,4],因此研究经济而有效的煤炭脱硫方法具有重要的现实意义.

通常煤炭中黄铁矿(FeS,) 硫占总硫量的 60%

以上^[5]. 煤的浸出法脱硫条件温和,成本低,尽管周期长,仍不失为一种煤炭燃前脱硫的重要方法. 其生物脱硫的机制是利用嗜酸性氧化亚铁硫杆菌 (A. ferrooxidans)以 FeS₂ 中亚铁和还原性硫为底物,将 FeS₂ 氧化溶解,硫被细菌氧化成硫酸进入液相而得以去除^[6-8]. 由于嗜酸性氧化亚铁硫杆菌属于化能自养型细菌,因此在脱硫过程中生长缓慢,脱硫时间漫长,且脱硫效率较低. 因此本研究以实验室保存的

收稿日期:2010-03-30;修订日期:2010-06-17

基金项目:国家自然科学基金重点项目(40930738,21077054);江苏省自然科学基金项目(BK2008332)

作者简介: 张德伟(1987~), 男, 硕士研究生, 主要研究方向为环境 工程微生物, E-mail: dwzhang689@163. com

* 通讯联系人, E-mail: smwang@ njau. edu. cn

A. ferrooxidans LX5 为供试菌株,以不同的底物对其进行培养驯化,比较 A. ferrooxidans LX5 在 2 种基质中培养驯化的差异,以便得到氧化效率高、脱硫时间短的优化菌种,以便为规模化的煤炭生物脱硫提供依据.

1 材料与方法

1.1 黄铁矿(FeS,)

采自南京云台山的黄铁矿精矿,磨细过 200 目 筛,备用.

1.2 高硫煤

采自山东滕州市某生产建设煤矿,供试煤样基本性质:水分4%、灰分11.53%、全S3.48%、低位发热量1572 kJ/kg,煤样经粉碎后过200目筛,备用.

1.3 菌种及培养活化方法

Acidithiobacillu ferrooxidans LX5 为本课题组保存菌株. 用改进型 9K 培养基培养活化^[9,10];双层平板计数^[11], 当 A. ferrooxidans LX5 的数量达到 10^8 个/mL时收集菌体保存备用.

1.4 分别以 FeSO₄、FeS₂ 为底物驯化培养 A. ferrooxidans LX5

配制改进型 9K 无机盐培养液(同 1.3 节),取 无机盐培养液 90 mL于 250 mL 三角瓶中,以 $FeSO_4$ 为能源物质, $FeSO_4 \cdot 7H_2O$ 的加入量为 44.2 g/L,接 入 10 mL活化好的 A. ferrooxidans LX5 菌液,接种量 10%,置于28℃,180 r/min的摇床中培养. 每隔 3 d 转接 1 次,如此重复 3 次.

取无机盐培养液 90 mL 于 250 mL 三角瓶中,以 FeS_2 为能源物质, FeS_2 的加入量为 10 g,接入 10 mL A. ferrooxidans LX5 的新鲜菌液,在同样的条件下进行驯化培养,每隔 20 d 转接 1 次,如此重复 3 次.

以最后一次培养驯化获得的 LX5 菌液为实验材料,以 $FeSO_4$ 为底物的培养液每 12 h 取样测定溶液中 Fe^{2+} 和 Fe^{3+} 的含量,计算 Fe^{2+} 的氧化率, Fe^{2+} 、 Fe^{3+} 浓度的测定用邻菲啰啉分光光度法 [12];定时测定溶液 pH 值的变化;溶液中 A. ferrooxidans LX5 菌体数量;培养 3 d 结束后取样测定菌体产生的胞外多聚物 (extracellular polymeric substance, EPS) 的含量.

以 FeS_2 为底物的培养液每隔 2 d 取样测定各参数,其反应液中 SO_4^{2-} 浓度的测定用离子色谱 (Dionex 320)法[13],20 d 后取样测定菌体产生 EPS 的含量.

1.5 A. ferrooxidans LX5 产生 EPS 的提取及测定方法

将上述分别以 FeSO₄ 为底物培养 3 d 及以 FeS₂ 为底物驯化 20 d 的 A. ferrooxidans LX5 培养液用新华滤纸抽滤,除去沉淀、杂质,然后取 20 mL 菌液 12 000 r/min,离心 3 min 除去菌体,留取含 EPS 的上清液^[14],测定上清液中的 TOC 值,用 DOC 值表征 EPS 的量.

1.6 不同底物培养驯化的 A. ferrooxidans LX5 对煤 炭生物脱硫效率的影响

在 250 mL 三角瓶中加入 90 mL 的 9K 无机盐溶液,10 g 煤粉(200 目) 及分别以 $FeSO_4$ 、 FeS_2 为底物培养驯化的 A. ferrooxidans LX5 新鲜菌液 10 mL,将摇瓶置28 $^{\circ}$ C,180 r/min的摇床中培养,2 个处理各设置 3 个重复. 定时取样测定溶液中 SO_4^{2-} 的浓度,根据 SO_4^{2-} 的浓度换算出煤炭中硫的脱除率.

2 结果与讨论

2.1 A. ferrooxidans LX5 在以 FeSO₄ 为底物的培养液中生长情况

A. ferrooxidans LX5 是嗜酸性化能自养细菌,最适生长 pH 值为 $2.0 \sim 3.0$,因此培养液的初始 pH 值调整为 2.5,以 $FeSO_4$ 为能源物质时, A. ferrooxidans LX5 将溶液中的 Fe^{2+} 氧化为 Fe^{3+} 获得能量生长. 在 A. ferrooxidans LX5 作用下培养液的 pH 值及 Fe^{2+} 氧化率变化情况见图 1.

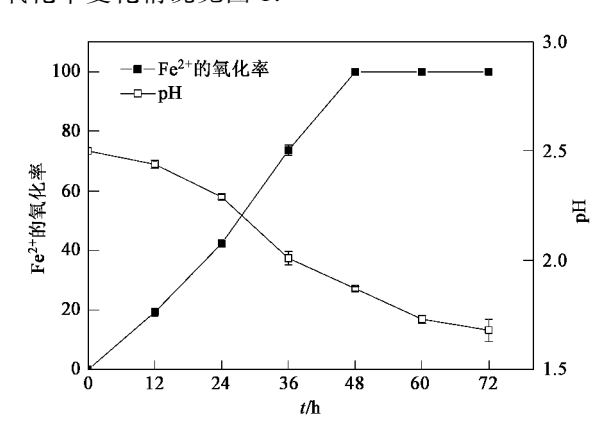


图 1 以 FeSO₄ 为底物培养 A. ferrooxidans LX5 时 培养液 pH 值变化和 Fe²⁺氧化率

Fig. 1 Changes of pH and iron ($\rm I\hspace{-.1em}I$) oxidation rate in the medium when A. ferrooxidans LX5 incubated with $\rm FeSO_4$

从图 1 可以看出,以 FeSO₄ 为底物培养 A. ferrooxidans LX5 时,溶液 pH 值缓慢下降, 48 h 后 pH 值从起始时的 2.5 下降到 1.87,72 h 后下降到

1.68. A. ferrooxidans LX5 对 Fe^{2+} 的氧化速率较快,反应 $24 h Fe^{2+}$ 的氧化率为 42.3%, 48 h 后溶液中的 Fe^{2+} 被完全氧化, 全部转化为 Fe^{3+} . 反应结束后对培养液中的 A. ferrooxidans LX5 进行计数, A. ferrooxidans LX5 数量为 1.0×10^8 个/mL. 课题组成员前期研究发现未经转接驯化的 A. ferrooxidans LX5 完全氧化 Fe^{2+} 需要 $4 \sim 5$ d 时间,而经过 3 次转接驯化后获得 A. ferrooxidans LX5 菌液,反应 48 h 即可将相同浓度的 Fe^{2+} 完全氧化,其氧化率明显提高,菌株 A. ferrooxidans LX5 在 9K 培养基中生长情况与课题组前期研究中所获得的结果基本一致 [15].

- **2.2** A. ferrooxidans LX5 在以 FeS₂ 为底物的培养液中生长情况
- **2.2.1** 以 FeS₂ 为底物驯化 A. ferrooxidans LX5 时溶液 pH 和 Fe³⁺含量变化

A. ferrooxidans LX5 可以通过 2 个系统对 FeS₂ 进行氧化,即铁氧化系统和硫氧化系统^[16]. A. ferrooxidans LX5 既可以将 FeS₂ 中的亚铁氧化成 Fe³⁺,亦可以将 FeS₂ 中的还原态 S 氧化成 SO²⁻ 而获得能量. FeS₂ 是以一种固体粉末的形式存在于培养液中,A. ferrooxidans LX5 对 FeS₂ 的氧化以溶液中 Fe³⁺ 浓度及 SO²⁻ 浓度的增加表示.在 A. ferrooxidans LX5 作用下以 FeS₂ 为底物的培养液中 pH 值和 Fe³⁺含量变化情况见图 2.

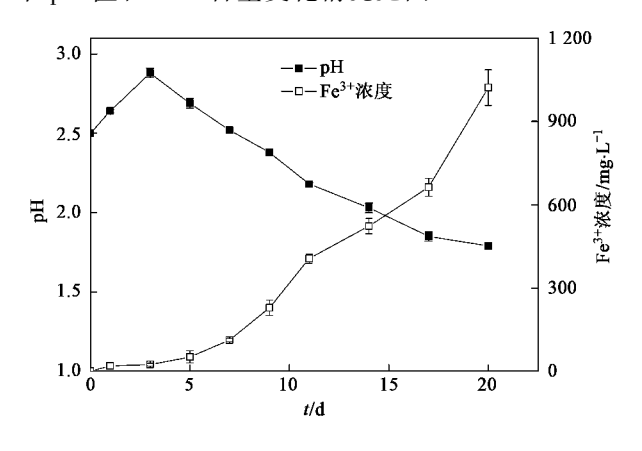


图 2 以 FeS₂ 为底物驯化 A. ferrooxidans LX5 时 培养液 pH 值和 Fe³⁺ 含量变化

Fig. 2 Changes of pH and iron($\rm III$) concentration in the medium when A. ferrooxidans LX5 incubated with FeS $_2$

由图 2 可以看出,以 FeS_2 为底物培养 A. ferrooxidans LX5 时,由于 FeS_2 具有很高的缓冲性,前期溶液 pH 值有个先升高后下降过程, A. ferrooxidans LX5 在培养的第 3 d,介质溶液的 pH 从起始时的 2.5 升高至 2.88,以后溶液 pH 开始较

快下降,在 20 d 时降到 1.8. 同样从图 2 可以看出,培养液中的 Fe^{3+} 随着时间的延长逐渐增多,第 7 d Fe^{3+} 含量为 112 mg/L,7 d 后溶液中 Fe^{3+} 的浓度快速上升,在第 7~11 d 期间 Fe^{3+} 的浓度升高较快,由 112 mg/L上升到 406 mg/L,第 20 d 时 Fe^{3+} 的浓度达到 1 022 mg/L.

- **2.2.2** 以 FeS_2 为底物驯化 A. ferrooxidans LX5 时溶液中 SO_4^2 浓度和菌体数量变化
- A. ferrooxidans LX5 在生长过程中将 FeS₂ 中的还原态 S 逐渐氧化成 SO₄²⁻,溶液中 SO₄²⁻ 浓度和菌体数量随时间的变化情况见图 3.

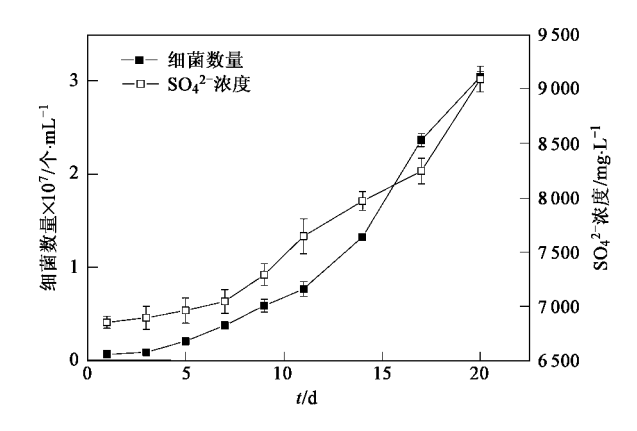


图 3 以 FeS_2 为底物驯化 A. ferrooxidans LX5 时培养液中菌体数量和 SO_4^{2-} 浓度变化

Fig. 3 Changes of A. ferrooxidans LX5 numbers and SO₄²⁻ concentration when A. ferrooxidans

LX5 incubated with FeS₂

从图 3 可以看出,培养液中 SO_4^{2-} 的浓度及菌体数量随着时间的增加逐渐上升,反应前期变化趋势基本一致,A. ferrooxidans LX5 在以 FeS_2 为底物驯化时前 3 d处于延滞期,生长缓慢,5 d后菌体生长加快, $15\sim20$ d 时生长速度最快,20 d 时培养液中菌体数量达到 3.0×10^7 个/mL,而同菌体生长曲线相似, SO_4^{2-} 的浓度在反应前期也变化较小,在反应进行到第 7 d 时溶液中 SO_4^{2-} 的含量开始快速增长,第 20 d 时溶液中 SO_4^{2-} 浓度达到9 092 mg/L.

由 2.1 节可知,以 $FeSO_4$ 为底物培养 A. ferrooxidans LX5,72 h 反应结束时菌体数量为 1.0×10^8 ,以 FeS_2 为底物驯化 A. ferrooxidans LX5 时溶液中的菌体数量只是以 $FeSO_4$ 为底物驯化时的 1/3. Nikolov 等[17] 在研究 A. ferrooxidans 形成的生物膜特性时发现,A. ferrooxidans 进行细胞繁殖时,分裂产生的 2 个细胞中,其中一个附着在 FeS_2 的表面,另一个则进入溶液中,因此溶液中的细菌数量多少

可以表征吸附在 FeS, 上的细菌数量. 常志东等[18] 研究发现,A. ferrooxidans 在 FeS, 表面经过3 h 的吸 附达到平衡,约有 50% ~ 60% 的 A. ferrooxidans 吸 附在 FeS₂ 的表面. 笔者的实验也证实,8.0×10⁸ 个/ mL的 A. ferrooxidans LX5 在含 FeS, 的溶液中经过 3 h 的吸附,溶液中 A. ferrooxidans LX5 的数量降至 3.9×10⁸ 个/mL, FeS, 对菌株 LX5 吸附量达 64%. 因此虽然以 FeS, 为底物驯化 A. ferrooxidans LX5 培 养液中的细菌数量只有以 FeSO₄ 为底物驯化时的 1/3.但就其总量来说应该和后者相当.由以上数据 可知, A. ferrooxidans LX5 驯化 20 d 后, 培养液中 SO²⁻ 浓度从起始时的6855 mg/L增加至9092 mg/L,共增加了2 237 mg/L,其增加量是生成或增加 的 Fe³⁺浓度(1022 mg/L)的一倍多,A. ferrooxidans LX5 氧化 Fe²⁺生成 Fe³⁺, Fe³⁺具有强氧化性与 FeS, 中的S反应,加速了S的氧化,从而有利于FeS2中S 的去除,此实验现象与 Sugio 等[19]的研究结果类似. 2.3 不同底物培养驯化A. ferrooxidans LX5 分泌 EPS 量的差异

分别以 $FeSO_4$ 和 FeS_2 为底物培养驯化 A. ferrooxidans LX5 时产生的 EPS 量见图 4,从中可以看出以 $FeSO_4$ 为底物培养 A. ferrooxidans LX5,72 h 反应结束后,菌株 LX5 产生的 EPS(以 DOC 计,下同)是 704 μ g/(10^{10} cells),而以 FeS_2 为底物驯化 A. ferrooxidans LX5,驯化 20 d后,菌株 LX5 产生的 EPS 为2 395 μ g/(10^{10} cells).

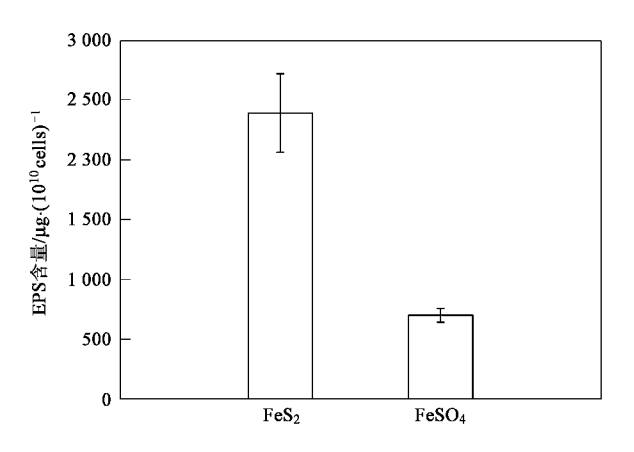


图 4 不同底物驯化 A. ferrooxidans LX5 时 EPS 的产生量 Fig. 4 Mass of EPS produced from A. ferrooxidans LX5 cultured with FeS, and FeSO₄

A. ferrooxidans LX5 分泌 EPS 的主要成分是多糖和多肽,依靠这些大分子物质的粘附作用,菌体得以吸附在矿物(FeS,)表面^[20,21]. 而从以上实验数据

可以看出以 FeS_2 为底物驯化 A. ferrooxidans LX5 产生的 EPS 大约是以 $FeSO_4$ 为底物培养时产生量的 3 倍,有研究表明以 $FeSO_4$ 和 FeS_2 为底物培养驯化 A. ferrooxidans 时,二者产生的 EPS 组成成分基本相似 $[^{22]}$,因此,A. ferrooxidans LX5 经 FeS_2 驯化后应更有利于其在 FeS_2 表面的吸附.

2.4 2 种不同底物驯化的 A. ferrooxidans LX5 对煤炭生物脱硫效率的影响

为了比较 A. ferrooxidans LX5 经不同底物驯化后对煤的脱硫效率,分别将经 FeSO₄ 培养 3 d 的 A. ferrooxidans LX5 及经 FeS₂ 培养驯化 20 d 的 A. ferrooxidans LX5 做接种物进行煤生物脱硫反应,结果见图 5. 从图 5 可以看出,接种后前 3 d 二者脱硫速率基本相同,都是缓慢上升,而 3 d 以后接种以FeS₂ 为底物驯化的 A. ferrooxidans LX5 的反应中,硫的氧化率明显加快,在第 13 d 就可以达到72. 4%,此后硫的氧化速率趋于平缓,氧化率增加缓慢.而接种以 FeSO₄ 为底物培养的 A. ferrooxidans LX5 时,硫的氧化率直到第 7 d 才开始出现明显升高迹象,13 d 时脱硫率仅为 47. 2%,反应 20 d 煤的脱硫率只达到 65. 8%.

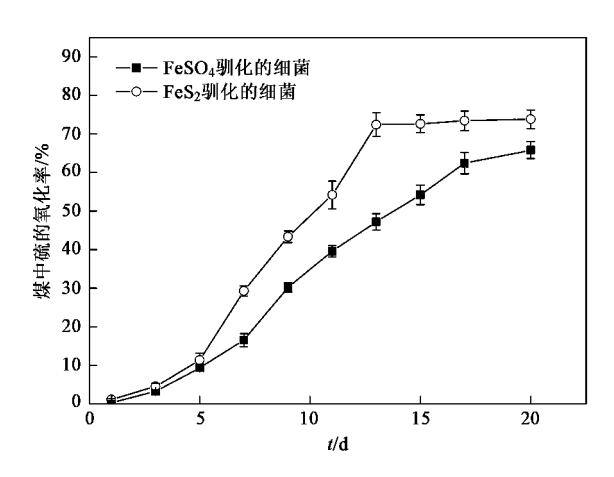


图 5 不同底物驯化的 A. ferrooxidans LX5 对煤中黄铁矿硫的脱除效率比较

Fig. 5 Removal efficiency of sulfur in coal by A. ferrooxidans LX5 cultured with FeS₂ and FeSO₄

从 2. 3 节可知, A. ferrooxidans LX5 经 FeS₂ 驯化 后产生大量的 EPS,由于 EPS 的粘附作用,更有利于菌体吸附在煤中 FeS₂ 的表面,从而更易于对 FeS₂ 进行氧化,蒋磊等研究表明, A. ferrooxidans LX5 可以粘附在矿物表面上,经过氧化作用在 FeS₂ 表面形成一个如细菌大小的溶蚀坑,细菌位于其中,更有利于 A. ferrooxidans LX5 对 FeS₂ 的进一步氧化^[13].亦

有报道^[14,23] EPS 可以络合一定数量的 Fe³⁺ 离子, Fe³⁺作为一种强氧化剂在 FeS₂ 的氧化过程中也有可能起着重要的作用,关于 EPS 络合 Fe³⁺ 及其氧化活性本实验室正在进一步的研究.

可见,以 FeS_2 为底物驯化 A. ferrooxidans LX5后,可以产生大量的 EPS,有利于 A. ferrooxidans LX5 在煤中 FeS_2 表面的附着,使 A. ferrooxidans LX5 能更快地适应新环境,缩短脱硫时间,提高脱硫效率.

3 结论

- (1) A. ferrooxidans LX5 可以氧化 FeS₂ 获得能量而生长,培养驯化 20 d 培养液中菌体数量可达到 3.0×10^7 个/mL.
- (2) A. ferrooxidans LX5 以 FeS_2 为底物驯化 20 d 后, EPS 的 产 生 量 (以 DOC 计)为 2 395 $\mu g/(10^{10} \, cells)$,约是以 $FeSO_4$ 为底物培养时生成 EPS 量的 3 倍.
- (3)以 FeS₂ 为底物培养驯化的 A. ferrooxidans LX5 用于煤炭生物浸出脱硫,可明显提高脱硫效率,缩短脱硫时间.

参考文献:

- [1] 戴和武,李连仲,谢可玉,等. 谈高硫煤资源及其利用[J]. 中国煤炭,1999,11:27-31.
- [2] 李国辉,胡杰南. 煤的微生物法脱硫研究进展[J]. 化学进展, 1997, 9(1):79-89.
- [3] 陈福林,唐云. 煤炭微生物脱硫技术研究进展[J]. 煤,2006, 15(6):18-21.
- [4] 武秀琴,张建云,谷立坤.煤炭微生物脱硫技术的研究及进展 [J].选煤技术,2009,1;65-67.
- [5] 何京东,宋书宇,孙镇,等. 我国煤炭中硫的分布及脱硫发展方向[J]. 国外金属矿选矿,1999,5:30-33.
- [6] 张丽芳,王清,孙玉凤. 氧化亚铁硫杆菌脱除煤中硫的研究 [J]. 沈阳工业学院学报,2004,23(1):81-84.
- [7] Cardona I C, Márquez M A. Biodesulfurization of two Colombian coals with native microorganisms [J]. Fuel Processing Technology, 2009, 90:1099-1106.
- [8] Kelly D P, Wood A P. Reclassification of some species of Thiobacillus to the newly designated genera Acidithiobacillus gen. nov., Halothiobacillus gen. nov. and Thermithiobacillus gen. nov. [J]. International Journal of Systematic and Evolutionary Microbiology, 2000, 50:511-516.

- 9] 周立祥,方迪,周顺桂,等.利用嗜酸性硫杆菌去除制革污泥中铬的研究[J].环境科学,2004,25(1):62-66.
- [10] Janssen A, Grotenhuis J T C, Lettinga G, et al. Possibilities for using biologically-produced sulphur for cultivation of *Thiobacillus* with respect to bioleaching processes [J]. Bioresource Technology, 1994, 48:221-227.
- [11] 王世梅,周立祥.提高氧化亚铁硫杆菌和氧化硫硫杆菌平板 检出率的方法:双层平板法[J].环境科学学报,2005,25 (10):1418-1420.
- [12] 鲍士旦. 土壤农化分析[M]. (第三版). 北京: 中国农业出版 社,2002. 225-227.
- [13] 蒋磊,周怀阳,彭晓彤. 氧化亚铁硫杆菌对黄铁矿、黄铜矿和磁黄铁矿的生物氧化作用研究[J]. 科学通报,2007,52(15): 1802-1813.
- [14] Gehke T, Telegdi J, Thierry D, et al. Importance of extracellular polymeric substances from *Thiobacillus ferrooxidans* for bioleaching [J]. Applied and environmental Microbiology, 1998, 64(7):2743-2747.
- [15] 周顺桂,王世梅,余素萍,等. 污泥中氧化亚铁硫杆菌的分离及其应用效果[J]. 环境科学,2003,24(3):56-60.
- [16] Silvermanm M P, Lundgren D G. Studies on the chemoautotrophic iron bacterium Ferrobacillus ferrooxidans [J]. Bacteriology and Botany, 1959, 77:642-647.
- [17] Nikolov L, Karamanev D, Mamatarkova V, et al. Properties of the biofilm of *Thiobacillus ferrooxidans* formed in rotating biological contactor [J]. Biochemical Engineering Journal, 2002, 12:43-48.
- [18] 常志东,张晨鼎,王红旺,等.氧化亚铁硫杆菌对硫铁矿和含铜硫铁矿浸矿动力学研究[J].湿法冶金,1997,3:4-8.
- [19] Sugio T, Katagiri T, Moriyama M, et al. Existence of a new type of sulfite oxidase which utilizes ferric ions as an electron acceptor in Thiobacillus ferrooxidans [J]. Applied and Environmental Microbiology, 1988, 54(1):153-157.
- [20] Suci P A, Frwlund B, Quintero E J, et al. Adhesive extracellular polymers of Hyphomonas MNS-3: interaction of polysaccharides and proteins [J]. Biofouling, 1995, 9:95-114.
- [21] Bruus J H, Nielsen P H, Keiding K. On the stability of activated sludge floes with implications to dewatering [J]. Water Research, 1992, 26:597-604.
- [22] Ramirez P, Guiliani N, Valenzuela L, et al. Differential protein expression during growth of Acidithiobacillus ferrooxidans on ferrous iron sulfur compounds or metal sulfides [J]. Applied and Environmental Microbiology, 2004, 70(8):4491-4498.
- [23] 傅建华, 邱冠周, 胡岳华, 等. 氧化亚铁硫杆菌胞外多聚 物在生物浸出中的作用[J]. 激光生物学报,2004,13(1):62-66.